

**PENDETEKSIAN OTOMATIS PENYAKIT KULIT *MELANOMA*
MENGUNAKAN METODE HOG DAN *HAAR WAVELET* BERBASIS
*NEURAL NETWORK***

TUGAS AKHIR

Diajukan guna Memenuhi Persyaratan untuk Mencapai Derajat Strata-1 Program

Studi Teknik Elektro Fakultas Teknik

Universitas Muhammadiyah Yogyakarta



Disusun oleh :

NAUFAL HADIANSYAH

20200120013

**PROGRAM STUDI S-1 TEKNIK ELETRO
FAKULTAS TEKNIK
UNIVERSITAS MUHAMMADIYAH YOGYAKARTA**

2024

HALAMAN PERNYATAAN

Yang bertanda tangan dibawah ini :

Nama : Naufal Hadiansyah

NIM : 20200120013

Fakultas : Teknik Program Studi : Teknik Elektro

Universitas : Universitas Muhammadiyah Yogyakarta

Menyatakan bahwa naskah tugas akhir yang berjudul “PENDETEKSIAN OTOMATIS PENYAKIT KULIT *MELANOMA* MENGGUNAKAN METODE HOG DAN HAAR WAVELET BERBASIS *NEURAL NETWORK*” adalah asli hasil karya tulis saya sendiri dan tidak pernah diajukan untuk memperoleh gelar sarjana pada Perguruan Tinggi serta tidak ada karya atau pendapat yang pernah dipublikasikan oleh orang lain, kecuali tertulis sumbernya yang disebutkan dalam naskah daftar Pustaka.

Yogyakarta, 16 Desember 2023

Pentulis,



Naufal Hadiansyah

MOTTO

“I do believe that, where there is only a choice between cowardice and violence, I would advise violence. I would rather have World resort to arms in order to defend her honor than that she should, in a cowardly manner, become or remain a helpless witness to her own dishonor. But I believe that nonviolence is infinitely superior to violence, forgiveness is more manly than punishment.”

(Mahatma Gandhi)

HALAMAN PERSEMBAHAN

“ Saya Persembahkan Tugas Akhir ini untuk Kedua Orang Tua-ku”.

KATA PENGANTAR

Alhamdulillah, puji dan syukur kita panjatkan kehadirat Allah SWT telah memberikan nikmat yang luar biasa, memberi saya kekuatan, menganugerahi saya ilmu pengetahuan serta memperkenalkan saya dengan cinta. Atas karunia serta segala kemudahan yang engkau berikan sehingga saya dapat menyelesaikan tugas akhir yang berjudul *PENDETEKSIAN OTOMATIS PENYAKIT KULIT MELANOMA MENGGUNAKAN METODE HOG DAN HAAR WAVELET BERBASIS NEURAL NETWORK*.

Shalawat serta salam selalu tercurahkan kepada baginda Rasulullah Muhammad SAW. Tugas akhir ini disusun dengan tujuan memenuhi Sebagian syarat memperoleh gelar Sarjana Teknik (S.T) di jenjang Pendidikan Strata-1 Program Studi Teknik Elektro Universitas Muhammadiyah Yogyakarta.

Saya menyadari bahwa dalam penyusunan tugas akhir ini tidak lepas dari bantuan beberapa pihak, sehingga pada kesempatan ini dengan segala kerendahan hati dan segala perjuangan saya hingga titik ini, saya persembahkan teruntuk orang-orang hebat yang selalu menjadi penyemangat, menjadi alasan saya kuat sehingga bisa menyelesaikan tugas akhir ini.

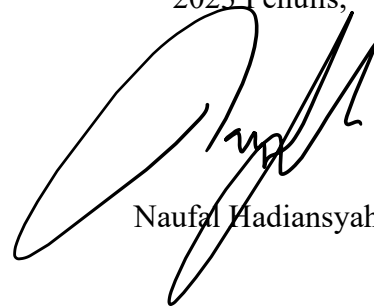
1. Bapak Ir. Aris Widy Nugroho, S. T., M.T., Ph.D., selaku dekan Fakultas Teknik Universitas Muhammadiyah Yogyakarta.
2. Bapak Ir. Kharisma Trinanda Putra, S.ST., M.T., Ph.D. selaku ketua Program Studi Teknik Elektro Universitas Muhammadiyah Yogyakarta.
3. Ibu Dr. Yessi Jusman, S.T., M.Sc. selaku dosen Pembimbing terima kasih atas bimbingan, kritik, saran dan selalu meluangkan waktunya disela kesibukan. Menjadi salah satu dari anak yang ibu bimbing merupakan nikmat yang sampai saat ini selalu saya syukuran pada Allah SWT. Terima kasih Ibu Yessi, semoga semua perjuangan dan jerih payahmu terbayarkan dan selalu dilimpahkan kesehatan dan keberkahan.
4. Ibu Ir. Anna Nur Nazilah Chamim, S.T., M.Eng. selaku dosen Penguji terimakasih atas ketersediaannya sebagai Dosen Penguji Sidang Tugas Akhir

saya, rasa syukur saya atas dedikasi yang telah ibu berikan, segala masukan dan melancarkan kegiatan sidang tugas akhir saya.

5. Seluruh dosen dan tenaga pengajar Teknik Elektro Universitas Muhammadiyah Yogyakarta yang telah banyak memberikan bimbingan kepada penulis selama menjalani perkuliahan di Teknik Elektro Universitas Muhammadiyah Yogyakarta.

Yogyakarta, 16 Desember

2023 Penulis,

A handwritten signature in black ink, appearing to read 'Naufal Hadiansyah', written over the printed name below it.

Naufal Hadiansyah

DAFTAR ISI

HALAMAN PENGESAHAN I	i
HALAMAN PENGESAHAN II	ii
HALAMAN PERNYATAAN	iii
MOTTO	iv
HALAMAN PERSEMBAHAN	v
DAFTAR ISI	viii
DAFTAR GAMBAR	x
DAFTAR TABEL	xiii
INTISARI	xv
ABSTRACT	xvii
BAB I PENDAHULUAN	1
1.1. Latar Belakang	1
1.2. Rumusan Masalah	4
1.3. Batasan Masalah	5
1.4. Tujuan Penelitian	5
1.5. Manfaat Penelitian	5
1.6. Sistematika Penulisan	5
BAB II TINJAUAN PUSTAKA	7
2.1 Tinjauan Pustaka	7
2.2 Landasan Teori.....	11
2.2.1 Kanker Kulit.....	11
2.2.2 Pengolahan Citra Digital	13
2.2.3 Algoritma Pengenalan Pola.....	17
2.2.4 Haar Wavelet.....	18
2.2.5 Histogram of Oriented Gradient (HOG).....	23
2.2.6 Multi Layer Perceptron	26
2.2.6.1 Levenberg-Marquardt (LM).....	27
2.2.6.2 Scaled Conjugate Gradient (SCG)	28
2.2.7 MatLab	31
2.2.8 Confusion Matrix.....	31
2.2.9 Graphical User Interface (GUI)	32
BAB III METODOLOGI PENELITIAN	33
3.1 Flowchart.....	33
3.2 Perancangan Sistem	35
3.3 Klasifikasi MLP.....	43
3.4 Analisis dan Hasil	46
3.5 Desain Apps	46
3.6 Instrumen Penelitian	59
BAB IV ANALISIS DAN HASIL	61
4.1 Pre-Processing	61

DAFTAR GAMBAR

Gambar 2. 1 Diagram Lapisan Kulit	13
Gambar 2. 2 Citra Digital	14
Gambar 2. 3 Citra dan Piksel penyusunnya.	16
Gambar 2. 4 Citra Biner dengan nilai piksel 0 dan 1	16
Gambar 2. 5 Citra Grayscale	17
Gambar 2. 6 Gambar Algoritma Pengenalan Pola	18
Gambar 2. 7 Fungsi basis pada ruang V^2	19
Gambar 2. 8 Fungsi Haar Wavelet pada ψ^1	20
Gambar 2. 9 Proses dekomposisi wavelet (2-dimensi) level-2, (a) dekomposisi wavelet standar; (b) dekomposisi wavelet tak standar	21
Gambar 2. 10 Beberapa keluarga wavelet yang berbeda	22
Gambar 2. 11 Pengambilan Matriks Gradien	25
Gambar 2. 12 Arsitektur Multi Layer Perceptron (MLP) Standar	26
Gambar 3. 1 Diagram Alir Penelitian	34
Gambar 3. 2 Flowchart Metode Perancangan Sistem	36
Gambar 3. 3 (a) Citra Melanoma, (b) Citra Nevus, (c) Citra Seborrheic Keratosis.	37
Gambar 3. 4 Program Membaca Data Citra	37
Gambar 3. 5 Diagram Pre-Processing	38
Gambar 3. 6 Program Grayscale	38
Gambar 3. 7 Program Resize	38
Gambar 3. 8 Program Enhancement	38
Gambar 3. 9 Flowchart Ekstraksi Fitur	39
Gambar 3. 10 Program Ekstraksi Fitur Haar Wavelet	41
Gambar 3. 11 Hasil Ekstraksi Fitur Haar Wavelet	41
Gambar 3. 12 Program Ekstraksi Fitur Histogram of Oriented Gradient	42
Gambar 3. 13 Hasil Ekstraksi Fitur Histogram of Oriented Gradient.....	43
Gambar 3. 14 Program Klasifikasi Multi Layer Perceptron (MLP)	46
Gambar 3. 15 Program Design Apps	59
Gambar 4. 1 Hasil Perbandingan Citra Enhancement	62
Gambar 4. 2 Hasil Perbandingan Citra Pre-Processing	63
Gambar 4. 3 Visualisasi hasil ekstraksi Histogram of Oriented Gradient	65
Gambar 4. 4 Model Levenberg-Marquardt dengan Hidden Neuron 1	67
Gambar 4. 5 Model Levenberg-Marquardt dengan Hidden Neuron 10	67
Gambar 4. 6 Model Levenberg-Marquardt dengan Hidden Neuron 20	67
Gambar 4. 7 Hasil Run 1 dan 2 (a.d) Grafik Performance LM HN 1. (b.e) Confusion Matrix LM HN 1. (c.f) Kurva Receiver Operating HN 1	70
Gambar 4. 8 Hasil Run 1 dan 2 (a,b) Grafik Performance LM HN 5. (c,d) Confusion Matrix LM HN 5. (e,f) Kurva Receiver Operating HN 5	77
Gambar 4. 9 Hasil Run 1 dan 2 (a,b) Grafik Performance LM HN 10. (c,d) Confusion Matrix LM HN 10. (e,f) Kurva Receiver Operating HN 10.....	84

Gambar 4. 10 Hasil Run 1 dan 2 (a,b) Grafik Performance LM HN 15. (c,d)	
Confusion Matrix LM HN 15. (e,f) Kurva Receiver Operating HN 15	91
Gambar 4. 11 Hasil Run 1 dan 2 (a,b) Grafik Performance LM HN 20. (c,d)	
Confusion Matrix LM HN 20. (e,f) Kurva Receiver Operating HN 20	98
Gambar 4. 12 Hasil Run 1 dan 2 (a,b) Grafik Performance SCG HN 1. (c,d)	
Confusion Matrix SCG HN 1. (e,f) Kurva Receiver Operating HN 1	106
Gambar 4. 13 Hasil Run 1 dan 2 (a,b) Grafik Performance SCG HN 5. (c,d)	
Confusion Matrix SCG HN 5. (e,f) Kurva Receiver Operating HN 5	113
Gambar 4. 14 Hasil Run 1 dan 2 (a,b) Grafik Performance SCG HN 10. (c,d)	
Confusion Matrix SCG HN 10. (e,f) Kurva Receiver Operating HN 10	120
Gambar 4. 15 Hasil Run 1 dan 2 (a,b) Grafik Performance SCG HN 15. (c,d)	
Confusion Matrix SCG HN 15. (e,f) Kurva Receiver Operating HN 15.	127
Gambar 4. 16 Hasil Run 1 dan 2 (a,b) Grafik Performance SCG HN 20. (c,d)	
Confusion Matrix SCG HN 20. (e,f) Kurva Receiver Operating HN 20	134
Gambar 4. 17 Hasil Run 1 dan 2 (a,b) Grafik Performance GDM HN 1. (c,d)	
Confusion Matrix GDM HN 1. (e,f) Kurva Receiver Operating HN 1	142
Gambar 4. 18 Hasil Run 1 dan 2 (a,b) Grafik Performance GDM HN 5. (c,d)	
Confusion Matrix GDM HN 5. (e,f) Kurva Receiver Operating HN 5	149
Gambar 4. 19 Hasil Run 1 dan 2 (a,b) Grafik Performance GDM HN 10. (c,d)	
Confusion Matrix GDM HN 10. (e,f) Kurva Receiver Operating HN 10	156
Gambar 4. 20 Hasil Run 1 dan 2 (a,b) Grafik Performance GDM HN 15. (c,d)	
Confusion Matrix GDM HN 15. (e,f) Kurva Receiver Operating HN 15	163
Gambar 4. 21 Hasil Run 1 dan 2 (a,b) Grafik Performance GDM HN 20. (c,d)	
Confusion Matrix GDM HN 20. (e,f) Kurva Receiver Operating HN 20	170
Gambar 4. 22 Hasil Run 1 dan 2 (a,b) Grafik Performance LM HN 1. (c,d)	
Confusion	
Matrix LM HN 1. (c,f) Kurva Receiver Operating HN 1	178
Gambar 4. 23 Hasil Run 1 dan 2 (a,b) Grafik Performance LM HN 5. (c,d)	
Confusion	
Matrix LM HN 5. (e,f) Kurva Receiver Operating HN 5	185
Gambar 4. 24 Hasil Run 1 dan 2 (a,b) Grafik Performance LM HN 10. (c,d)	
Confusion Matrix LM HN 10. (e,f) Kurva Receiver Operating HN 10	192
Gambar 4. 25 Hasil Run 1 dan 2 (a,b) Grafik Performance LM HN 15. (c,d)	
Confusion Matrix LM HN 15. (e,f) Kurva Receiver Operating HN 15	199
Gambar 4. 26 Hasil Run 1 dan 2 (a,b) Grafik Performance LM HN 20. (c,d)	
Confusion Matrix LM HN 20. (e,f) Kurva Receiver Operating HN 20	206
Gambar 4. 27 Hasil Run 1 dan 2 (a,b) Grafik Performance SCG HN 1. (c,d)	
Confusion Matrix SCG HN 1. (e,f) Kurva Receiver Operating HN 1	214
Gambar 4. 28 Hasil Run 1 dan 2 (a,b) Grafik Performance SCG HN 5. (c,d)	
Confusion Matrix SCG HN 5. (e,f) Kurva Receiver Operating HN 5	221
Gambar 4. 29 Hasil Run 1 dan 2 (a,b) Grafik Performance SCG HN 10. (c,d)	
Confusion Matrix SCG HN 10. (e,f) Kurva Receiver Operating HN 10	228
Gambar 4. 30 Hasil Run 1 dan 2 (a,b) Grafik Performance SCG HN 15. (c,d)	
Confusion Matrix SCG HN 15. (e,f) Kurva Receiver Operating HN 15	235
Gambar 4. 31 Hasil Run 1 dan 2 (a,b) Grafik Performance SCG HN 20. (c,d)	
Confusion Matrix SCG HN 20. (e,f) Kurva Receiver Operating HN 20	242

Gambar 4. 32 Hasil Run 1 dan 2 (a,b) Grafik Performance GDM HN 1. (c,d) Confusion Matrix GDM HN 1. (e,f) Kurva Receiver Operating HN 1	250
Gambar 4. 33 Hasil Run 1 dan 2 (a,b) Grafik Performance GDM HN 5. (c,d) Confusion Matrix GDM HN 5. (e,f) Kurva Receiver Operating HN 5	257
Gambar 4. 34 Hasil Run 1 dan 2 (a,b) Grafik Performance GDM HN 10. (c,d) Confusion Matrix GDM HN 10. (e,f) Kurva Receiver Operating HN 10	264
Gambar 4. 35 Hasil Run 1 dan 2 (a,b) Grafik Performance GDM HN 15. (c,d) Confusion Matrix GDM HN 15. (e,f) Kurva Receiver Operating HN 15	271
Gambar 4. 36 Hasil Run 1 dan 2 (a,b) Grafik Performance GDM HN 20. (c,d) Confusion Matrix GDM HN 20. (e,f) Kurva Receiver Operating HN 20	278
Gambar 4. 37 Grafik Training Haar Wavelet	284
Gambar 4. 38 Grafik Testing Haar Wavelet	284
Gambar 4. 39 Grafik Validation Haar Wavelet	285
Gambar 4. 40 Grafik Training Histogram of Oriented Gradient	285
Gambar 4. 41 Grafik Training Histogram of Oriented Gradient	286
Gambar 4. 42 Grafik Training Histogram of Oriented Gradient	286
Gambar 4. 43 Implementasi Apps	290

DAFTAR TABEL

Tabel 2. 1 Tinjauan Pustaka	8
Tabel 2. 2 Penelitian terdahulu Haar Wavelet	23
Tabel 2. 3 Penelitian terdahulu Histogram of Oriented Gradient	26
Tabel 2. 4 Penelitian terdahulu Scale Conjugate Gradient	28
Tabel 2. 5 Rumus Performance Matrix	32
Tabel 3. 1 Langkah-langkah pembuatan APPS.....	47
Tabel 4. 1 Nilai Rata-rata dan Standar Deviasi Ekstraksi Fitur Haar Wavelet	64
Tabel 4. 2 Nilai Rata-rata dan Standar Deviasi Ekstraksi Fitur Histogram of Oriented Gradient	65
Tabel 4. 3 Model Pengklasifikasian	66
Tabel 4. 4 Hasil Training Haar Wavelet dengan Model Levenberg Marquardt Hidden Neuron 1	69
Tabel 4. 5 Hasil Training Haar Wavelet dengan Model Levenberg-Marquardt Hidden Neuron 5	76
Tabel 4. 6 Hasil Training Haar Wavelet dengan Model Scaled Conjugate Gradient Hidden Neuron 1	104
Tabel 4. 7 Hasil Training Haar Wavelet dengan Model Scaled Conjugate Gradient Hidden Neuron 5	112
Tabel 4. 8 Hasil Training Haar Wavelet dengan Model Scaled Conjugate Gradient Hidden Neuron 10	119
Tabel 4. 9 Hasil Training Haar Wavelet dengan Model Scale Conjugate Gradient Hidden Neuron 15	126
Tabel 4. 10 Hasil Training Haar Wavelet dengan Model Scaled Conjugate Gradient Hidden Neuron 20	133
Tabel 4. 11 Hasil Training Haar Wavelet dengan Model Gradient Descentwith Momentum Hidden Neuron 1	140
Tabel 4. 12 Hasil Training Haar Wavelet dengan Model Gradient Descent with Momentum Hidden Neuron 5	148
Tabel 4. 13 Hasil Training Haar Wavelet dengan Model Gradient Descent with Momentum Hidden Neuron 10	155
Tabel 4. 14 Hasil Training Haar Wavelet dengan Model Gradient Descent with Momentum Hidden Neuron 15	162
Tabel 4. 15 Hasil Training Haar Wavelet dengan Model Gradient Descent with Momentum Hidden Neuron 20	169
Tabel 4. 16 Hasil Training Histogram of Oriented Gradient dengan Model Levenberg-Marquardt Hidden Neuron 1	176
Tabel 4. 17 Hasil Training Histogram of Oriented Gradient dengan Model Levenberg-Marquardt Hidden Neuron 5	184
Tabel 4. 18 Hasil Histogram of Oriented Gradient dengan Model Levenberg-Marquardt Hidden Neuron 10	191
Tabel 4. 19 Hasil Training Histogram of Oriented Gradient dengan Model Levenberg-Marquardt Hidden Neuron 15	198
Tabel 4. 20 Hasil Training Histogram of Oriented Gradient dengan Model Levenberg-Marquardt Hidden Neuron 20	205

Tabel 4. 21 Hasil Training Histogram of Oriented Gradient dengan Model Scaled Conjugate Gradient Hidden Neuron 1.....	212
Tabel 4. 22 Hasil Training Histogram of Oriented Gradient dengan Model Scaled Conjugate Gradient Hidden Neuron 5.....	220
Tabel 4. 23 Hasil Training Histogram of Oriented Gradient dengan Model Scaled Conjugate Gradient Hidden Neuron 10.....	227
Tabel 4. 24 Hasil Training Histogram of Oriented Gradient dengan Model Scaled Conjugate Gradient Hidden Neuron 15.....	234
Tabel 4. 25 Hasil Training Histogram of Oriented Gradient dengan Model Scaled Conjugate Gradient Hidden Neuron 20.....	241
Tabel 4. 26 Hasil Training Histogram of Oriented Gradient dengan Model Gradient Descent with Momentum Hidden Neuron 1	248
Tabel 4. 27 Hasil Training Histogram of Oriented Gradient dengan Model Gradient Descent with Momentum Hidden Neuron 5	256
Tabel 4. 28 Hasil Training Histogram of Oriented Gradient dengan Model Gradient Descent with Momentum Hidden Neuron 10	263
Tabel 4. 29 Hasil Training Histogram of Oriented Gradient dengan Model Gradient Descent with Momentum Hidden Neuron 15	270
Tabel 4. 30 Hasil Training Histogram of Oriented Gradient dengan Model Gradient Descent with Momentum Hidden Neuron 20	277

DAFTAR LAMPIRAN

1. Skrip Imread untuk membaca banyak citra.
294
2. Function Adaphisteq
306

INTISARI

Kanker kulit merupakan salah satu jenis penyakit yang tidak menular namun, kanker kulit menjadi penyakit yang berbahaya. Hal ini dipicu karena keganasan dan kecepatan untuk menyebar ke bagian tubuh yang lain hingga menyebabkan kematian bagi pengidapnya. Selain itu Indonesia merupakan negara iklim tropis dengan paparan sinar matahari sangat tinggi. Paparan sinar matahari ini factor risiko utama keganasan kulit. Kanker kulit terbanyak di Indonesia terutama tipe *Melanoma*. Kasus *Melanoma* di Indonesia sebanyak 1.609 kasus pada tahun 2020. Tidak menutup kemungkinan terjadi kesalahan pada proses pendeteksian secara manual mengandalkan keterampilan dari pengamat kanker kulit *Melanoma*. Penelitian ini menggunakan 3 kelas kanker kulit yaitu *Melanoma*, *Nevus* dan *Seborrheic Keratosis*. Penelitian ini membantu mendiagnosa adanya kanker kulit *Melanoma* dengan metode MLP (*Multi Layer Perceptron*). Pada penelitian ini MLP (*Multi Layer Perceptron*) dikombinasikan dengan ekstraksi *Haar Wavelet* dan *Histogram of Oriented Gradients*. Tahapan yang dilalui yaitu *Pre-Processing*, ekstraksi dan klasifikasi. Sistem klasifikasi menggunakan 3 model terbaik pada setiap metode. Hasil terbaik diperoleh dengan metode klasifikasi *Neural Network* menggunakan ekstraksi fitur *Haar Wavelet* pada model *Levenberg-Marquardt* dengan akurasi yang diperoleh sebesar 90.1%.

Kata Kunci: Kanker Kulit, Haar Wavelet, Histogram of Oriented Gradient (HOG), *Multi Layer Perceptron* (MLP), *Neural Network*

ABSTRACT

Skin cancer is one type of disease that is not contagious, however, skin cancer is a dangerous disease. This is triggered by its malignancy and speed to spread to other parts of the body, causing death for the sufferer. In addition, Indonesia is a tropical climate country with very high sun exposure. This sun exposure is a major risk factor for skin malignancies. The most common skin cancer in Indonesia is melanoma. Melanoma cases in Indonesia amounted to 1,609 cases in 2020. This study uses 3 classes of skin cancer namely melanoma, nevus and seborrheic keratosis. This research helps diagnose the presence of melanoma skin cancer with the MLP (Multi Layer Perceptron) method. In this research, MLP (Multi Layer Perceptron) is combined with Haar Wavelet extraction and Histogram of Oriented Gradients. The stages that are passed are pre-processing, extraction and classification. The classification system uses the best 3 models in each method. The best results were obtained with the Neural Network classification method using Haar Wavelet feature extraction on the Levenberg-Marquardt model with an accuracy of 90.1%.

Keywords: *Skin Cancer, Haar Wavelet, Histogram of Oriented Gradient (HOG), Multi Layer Perceptron (MLP), Neural Network*